

# کاربرد کربن فعال حاصل از روزنامه باطله در حذف رنگ متیلن بلو از محیط آبی: مطالعه ایزوترمی، سیستیکی و ترمودینامیکی

بابک جاهد<sup>۱</sup>، محمدعلی بقاپور<sup>۲</sup>، محمد شاکر خطیبی<sup>۳</sup>، فریبا خلیلی ناجی<sup>۴\*</sup>

۱. مریبی گروه مهندسی بهداشت محیط، دانشکده بهداشت، دانشگاه علوم پزشکی ایرانشهر

۲. دانشیار گروه مهندسی بهداشت محیط، دانشکده بهداشت، دانشگاه علوم پزشکی شیراز

۳. استادیار گروه مهندسی بهداشت محیط، دانشکده بهداشت، دانشگاه علوم پزشکی تبریز

۴. دانشجوی دکترای مهندسی بهداشت محیط، دانشکده بهداشت، دانشگاه علوم پزشکی تهران

khalilifariba@yahoo.com \*

تاریخ پذیرش: [۱۳۹۳/۳/۱]

تاریخ دریافت: [۱۳۹۲/۹/۹]

**چکیده**- کربن فعال به گونه‌ای گسترده در صنایع استفاده می‌شود. یکی از محدودیت‌های استفاده از کربن فعال پرهزینه بودن پیش ماده تولیدی آن است. این مطالعه با هدف ارزیابی کارایی کربن فعال تولید شده از روزنامه باطله در حذف رنگ متیلن بلو از محیط آبی انجام شده است. برای فعال‌سازی از محلول KOH و به منظور تعیین خصوصیات بافت کربن فعال تولید شده، از جذب گاز N<sub>2</sub> در دمای ۰K و ایزوترم BET استفاده شده است. برای تعیین خصوصیات جذب رنگ متیلن بلو روی کربن فعال، از مدل‌های ایزوترمی لانگمیر، فروندلیچ، تکین، ردیچ-پترسون و همچنین مدل‌های سیستیکی شبه درجه اول، شبه درجه دوم و انتشار داخل ذرهای استفاده شده است. پارامترهای ترمودینامیکی آنتالپی (ΔH°)، آنتروپی (ΔS°) و انرژی آزاد گیس (ΔG°) محاسبه شد. بر اساس نتایج به دست آمده، مقادیر S<sub>BET</sub> و V<sub>TOTAL</sub> به ترتیب /g ۶۶۰۱ m<sup>2</sup>/g و ۰/۰۷۳ mL/g به دست آمد. بر اساس مقادیر R<sup>2</sup> آنالیز خطای SSE و همچنین نمودارهای تعیین برآش، مدل‌های فروندلیچ و شبه درجه دوم به عنوان مدل‌های بهینه ایزوترمی و سیستیکی تعیین شد. پارامترهای ترمودینامیکی نشان داد که جذب رنگ متیلن بلو گرماسیگر و خود به خودی است. کربن فعال تولید شده از روزنامه باطله در این مطالعه در مقایسه با نمونه‌های دیگر از سطح مخصوص مطلوب و ظرفیت جذب سطحی مناسب برای رنگ متیلن بلو برخوردار بود.

**کلمات کلیدی:** روزنامه باطله، کربن فعال، متیلن بلو، سیستیک، ترمودینامیک

تصفیه پساب‌های حاوی رنگ، جذب سطحی به دلیل مقرن به صرفه بودن و توانایی استفاده در مقیاس وسیع از مقبولیت بیشتری برخوردار است[۱]. در این فرایند، برای حذف آلاینده‌های مختلف از فاضلاب به خصوص آلاینده‌های رنگی، از کربن فعال در مقیاس وسیعی استفاده می‌شود. مواد نفتی، زغال طبیعی و چوب اصلی ترین پیش

## ۱- مقدمه

یکی از مهم‌ترین آلاینده‌های صنعتی رنگ‌ها است[۱]، تخمین زده می‌شود میزان تولید سالانه این ماده بالای ۱۰×۷ تن باشد[۲]، رنگ متیلن بلو یکی از این مواد پرصرف در صنعت است که برای رنگ‌کاری کتان و ابریشم استفاده قرار می‌شود[۳]. از میان روش‌های مختلف

راكتور به مدت ۲ ساعت در این دما باقیمانده و پس از خنک شدن با آب مقطر شستشو شد تا pH پساب شستشو به  $\frac{7}{5}$  برسد. سپس کربن فعال به دست آمده برای ۲۴ ساعت درون آون در دمای  $120^{\circ}\text{C}$  قرار داده شد تا کاملاً خشک شود؛ کربن فعال خشک شده از الک مش ۱۰۰ گذرانده شده و تا زمان مصرف درون دسیکاتور نگهداری شد.

## ۲-۲ روش انجام آزمایش

خصوصیات بافت کربن فعال تولید شده با استفاده از دستگاه آنالیز سطح (Quantachrome, NOVA 2000) به روش جذب-واجدب گاز  $\text{N}_2$  در  $77\text{K}$  تعیین شد<sup>[۱۱ و ۱۲]</sup>. حجم منافذ (Micropores) از طریق تعیین ایزوترم t-plot تخمین زده شد و میزان باردهی تولید کربن فعال از ماده خام اولیه از رابطه ۱ به دست آمد.

$$\frac{\text{وزن کربن فعال تولید شده}}{\text{وزن روزنامه به کاربرده شده}} \times 100 = \text{میزان باردهی تولید کربن فعال \%} \quad (1)$$

غلهای میانی شده در طول موج  $620\text{nm}$  با استفاده از اسپکتروفوتومتر HACH مدل DR-5000 تعیین شد. مقدار pH به وسیله pH متر Metrohm مدل ۸۲۷ اندازه‌گیری شد. مواد شیمیایی شامل  $\text{NaOH}$ ,  $\text{HCl}$ ,  $\text{KOH}$  و رنگ متیلن بلو از محصولات مرک آلمان مورد استفاده قرار گرفت. فرآیند کربوناسیون نیز با استفاده از کوره ATASH مدل ۱۲۰۰ انجام شد.

## ۳-۲ مطالعات تعادلی ناپیوسته

۵۰CC محلول متیلن بلو در غلهای اولیه  $30$ ,  $40$ ,  $50$  و  $60$  میلی‌گرم در لیتر درون یک بشر حاوی  $0/05\text{ g}$  کربن فعال توسط همزن با سرعت  $100\text{rpm}$  تماس داده شد. در زمان‌های  $0$ ,  $5$ ,  $15$ ,  $30$ ,  $60$ ,  $80$ ,  $120$ ,  $160$ ,  $200$  و  $250$  دقیقه  $400\text{CC}$  از محلول متیلن بلوی در تماس با کربن فعال برداشت شده و درون لوله‌های سانتریفیوژ با دور  $3000\text{rpm}$  قرار

ماده تولید کربن فعال به شمار می‌روند و با توجه به گران بودن این مواد، قیمت کربن فعال تجاری بالا است<sup>[۳، ۴]</sup>. از این رو در سال‌های اخیر تلاش‌های بسیاری شده است که از پیش ماده‌های ارزان‌تری برای تولید کربن فعال استفاده شود. در این راستا، Haimour و همکاران (۲۰۰۶) با استفاده از پوست از هسته میوه خرما<sup>[۵]</sup>, Hasar (۲۰۰۳) با استفاده از پوست بادام<sup>[۶]</sup>, رحمان و همکاران (۲۰۰۰) با استفاده از سبوس برنج<sup>[۷]</sup>, امری و همکاران (۲۰۰۹) با استفاده از لاستیک‌های مستعمل<sup>[۸]</sup> کربن فعال تولید کردند.

با توجه به اینکه حدود  $6/43$  درصد از ترکیب زباله‌های شهری ایران را کاغذ و مقوا تشکیل می‌دهد<sup>[۹]</sup>, بازیافت این ماده ارزشمند نه تنها باعث کاهش قابل توجهی در مقدار زباله می‌شود بلکه باعث حفاظت از منابع چوبی، صرفه‌جویی در مصرف انرژی، حفاظت از محیط‌زیست و در نهایت سود اقتصادی فراوانی خواهد شد<sup>[۱۰]</sup>. این مطالعه باهدف ارزیابی کارایی کربن فعال تولید شده از کاغذ باطله و امکان‌سنجی استفاده از آن به منظور حذف رنگ متیلن بلو از محیط آبی انجام شده است.

## ۲- مواد و روش‌ها

### ۲-۱-۲ تولید کربن فعال

برای تولید کربن فعال در مرحله اول ابتدا  $10\text{g}$  روزنامه باطله به قطعات  $5\text{mm}$  خردشده و درون محلول KOH در دمای  $80^{\circ}\text{C}$  به مدت ۲ ساعت به هم زده شد. نسبت وزنی  $1:3:4$  (W/W) کاغذ روزنامه، نمک KOH و آب مقطر  $4:4:1$  انتخاب گردید. دوغاب به دست آمده به مدت ۴۸ ساعت درون آون در دمای  $120^{\circ}\text{C}$  قرار داده شد تا کاملاً خشک شود. روزنامه‌های خشک شده، با هاون خردشده و درون یک ظرف درب دار دارای منفذ برای نفوذ هوا قرار گرفت. این ظرف به طور کامل از ماده مورد نظر پرشده و درون کوره با دمای نهایی  $500^{\circ}\text{C}$  و سرعت گرم شدن  $500^{\circ}\text{C}/\text{min}$   $17^{\circ}\text{C}$  قرار داده شد. پس از رسیدن به دمای  $500^{\circ}\text{C}$

معادلات شبه درجه اول و شبه درجه دوم و KP (mg/g) ثوابت انتشار داخل ذرهای است.

### ۵-۲-۱ ایزوترم جذب سطحی

به منظور تعیین ایزوترم جذب رنگ متیلن بلو از مدل های لانگمیر، فروندلیچ، ردلیچ-پترسون و تمکین استفاده شده است. روابط مربوط به این مدل ها به همراه فرم خطی آنها در جدول ۲ آرائه شده است.

در مدل لانگمیر،  $q_e$  (mg/g) میزان رنگ جذب شده در واحد وزن جاذب،  $q_{max}$  (mg/g) بیشینه مقدار رنگ جذب شده در واحد وزن جاذب،  $C_e$  (mg/L) غلظت رنگ متیلن بلو باقیمانده در محلول در زمان تعادل و  $K_L$  (L/mg) ثابت معادله لانگمیر، در مدل فروندلیچ،  $n$  و  $\beta$  (mg/g(L/mg) $n$ ) ثوابت معادله فروندلیچ و  $ar$ ،  $K_r$  و  $B$  (RT/bt) ثابت عمومی گازها،  $T$  (K) (دماه مطلق،  $1/mol.K$ ) و  $A$  (lnat) نیز ثوابت ایزوترم تمکین می باشند [۳، ۴، ۱۴، ۱۵].

جدول ۲- معادلات ایزوترمی و روابط خطی مربوطه [۱۶، ۱۵، ۵، ۳]

نام مدل	فرم غیرخطی	فرم خطی
لانگمیر	$q_e = \frac{q_{max} K_L C_e}{1 + K_L C_e}$	$\frac{C_e}{q_e} = (\frac{1}{b q_{max}}) + \frac{1}{q_{max}} C_e$
فروندلیچ	$q_e = K_F C_e^{1/n}$	$\log q_e = \log K_F + \left(\frac{1}{n}\right) \log C_e$
- ردلیچ- پترسون	$q_e = \frac{K_r C_e}{1 + a_r C_e^\beta}$	$\ln(K_r(C_e/q_e) - 1) = \beta \ln C_e + \ln a_r$
تمکین	$q_e = \frac{RT}{b_t} \ln(a_t C_e)$	$q_e = A + B \ln C_e$

همچنین به منظور بررسی مناسب بودن جاذب تولید شده برای جذب رنگ متیلن بلو، از ثابت  $R_L$  که به صورت رابطه ۴ بیان می شود استفاده شده است.

$$R_L = \frac{1}{1 + b C_0} \quad (4)$$

گرفت. ۲cc از محلول سانتریفیوژ شده برداشته و میزان جذب در طول موج ۶۲۰nm خوانده شد. برای بررسی تاثیر pH روی میزان جذب، مطالعه تعادلی در pH های ۳، ۴، ۵/۵، ۷، ۸، ۹ و ۱۰ انجام شد. پس از به تعادل رسیدن سیستم، میزان متیلن بلوی جذب شده در واحد وزن جاذب از طریق رابطه ۲ محاسبه شد [۱۳].

$$q_e = \frac{V(C_0 - C_e)}{W} \quad (2)$$

که  $q_e$  (mg/g) مقدار رنگ جذب شده در واحد وزن جاذب،  $C_0$  (mg/l) غلظت رنگ در زمان صفر و  $C_e$  (mg/g) غلظت تعادلی رنگ متیلن بلو،  $V$  (l) حجم محلول رنگی و  $W$  (g) وزن جاذب مورد استفاده است.

### ۴-۲- مطالعات کینیتیکی در حالت ناپیوسته

برای انجام مطالعات کینیتیکی، میزان جذب رنگ در واحد وزن جاذب در زمان  $t$  از رابطه ۳ محاسبه شده است.

$$q_t = \frac{V(C_0 - C_t)}{W} \quad (3)$$

در این مطالعه از سه مدل شبه درجه اول، شبه درجه دوم و انتشار داخل ذرهای استفاده شده است. مدل های استفاده شده به همراه شکل خطی مربوط به آنها در جدول ۱ آرائه شده است.

جدول ۱- معادلات سیستمی و روابط خطی آنها [۱۸، ۵]

نام مدل	فرم غیرخطی	فرم خطی
شبه درجه ۱	$\frac{dq_t}{dt} = k_1(q_e - q_t)$	$\ln(q_e - q_t) = \ln q_e - k_1 t$
شبه درجه ۲	$\frac{dq_t}{dt} = k_2(q_e - q_t)^2$	$\frac{t}{q_t} = \frac{1}{k_2 q_e^2} + \frac{1}{q_e}$
انتشار خارج ذره	$q_t = k_p t^{1/2} + C$	-

در جدول ۱،  $q_e$  (mg/g) و  $q_t$  (mg/g) به ترتیب مقدار رنگ جذب شده در حالت تعادل و مقدار رنگ جذب شده در زمان  $t$  (min) و  $K_1$  (1/min) و  $K_2$  (g/mg.min) به ترتیب ثوابت

که  $q_{e,exp}$  های اندازه‌گیری شده به صورت عملی،  $q_{e,cal}$  مقادیر های پیش‌بینی شده توسط مدل ها و  $N$  تعداد نقاط داده‌های اندازه‌گیری شده می‌باشد.

### ۳- نتایج و بحث

#### ۱-۳- خصوصیات بافت کربن فعال تولیدشده

با استفاده از رابطه ۱ میزان باردهی تولید کربن فعال در مطالعه حاضر ۳۷ درصد تعیین شد. با استفاده از روش جذب و اوجذب گاز  $N_2$  در دمای ۷۷K و ایزووترم BET،  $S_{BET}$  و  $V_{TOTAL}$  به ترتیب  $77\text{ m}^2/\text{g}$  و  $0.063 \text{ ml/g}$  به دست آمد. همچنین با استفاده از ایزووترم t-plot حجم ریز حفرات ( $V_{mic}$ )  $0.015 \text{ ml/g}$  محاسبه شد و با تفرقی  $V_{TOTAL}$  از  $V_{mic}$  حجم حفرات با اندازه متوسط  $0.048 \text{ ml/g}$  به دست آمد. بنابراین حدود ۷۶ درصد از حجم کل حفرات موجود در کربن فعال تولیدشده مربوط به حفرات با حجم متوسط است، بنابراین می‌توان گفت کربن فعال تولیدشده برای جذب مولکول‌هایی با ابعاد  $20\text{ nm}$  و کوچک‌تر مناسب خواهد بود [۲۳].

#### ۲-۳- تأثیر تغییر pH بر روی راندمان حذف

مطابق با شکل ۱، با افزایش pH محلول میزان حذف نیز افزایش یافته است که این امر با یافته‌های مطالعات صورت گرفته به وسیله‌ی Qada و همکاران [۲۴]، Chen و همکاران [۲۵]، Karagoz و همکاران [۲۶] هماهنگ است. با افزایش pH میزان یون‌های هیدروکسیل در محلول بالا رفته و این امر باعث می‌شود که سطح کربن فعال، پروتون از دست داده و بار منفی سطح جاذب مورد استفاده تقویت شده و میزان نیروی جذب الکترواستاتیکی بین رنگ متیلن بلو که دارای بار مثبت است، و سطح جاذب افزایش و به دنبال آن جذب رنگ نیز افزایش خواهد یافت [۲۷].

که  $R_L$  فاکتور تفکیک بدون بعد و  $b$  (l/mg) ثابتی است که از مدل لانگمیر به دست می‌آید. اگر مقدار  $R_L > 1$  باشد، جاذب مورد استفاده به منظور جذب ماده محلول مورد نظر مناسب نیست، اگر  $R_L = 1$  باشد، جذب روی جاذب معکوس است، اگر  $R_L < 1$  باشد، نوع ایزووترم خطی و اگر  $R_L < 0$  باشد، جاذب مورد استفاده مطلوب است [۱۶، ۱۳].

#### ۶-۲- مطالعه ترمودینامیکی

ثوابت ترمودینامیکی جذب سطحی شامل انرژی آزاد گیبس ( $\Delta G^\circ$ )، تغییر آنتروپی ( $\Delta S^\circ$ ) و تغییر آنتالپی ( $\Delta H^\circ$ ) در دماهای ۲۹۱، ۲۹۸، ۳۰۳ و ۳۰۸ درجه کلوین استخراج شد. معادلات ۶، ۵ و ۷ برای استخراج ثوابت ترمودینامیکی مورد استفاده قرار گرفت.

$$\Delta G^\circ = -RT \ln Kc \quad (5)$$

$$\Delta G^\circ = \Delta H^\circ - T\Delta S^\circ \quad (6)$$

$$\ln Kc = -\Delta H^\circ/RT + \Delta S^\circ/R \quad (7)$$

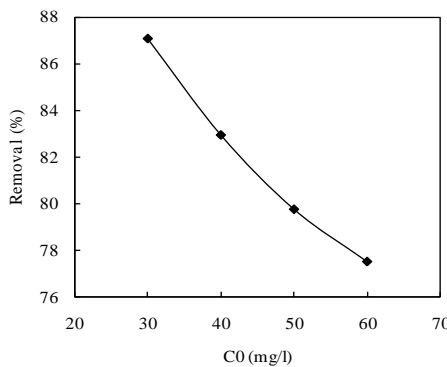
$J/mol.K$   $\Delta G^\circ$  (kJ/mol) تغییر انرژی آزاد گیبس،  $R$  ثابت جهانی گازها،  $Kc$  ثابت تعادلی ترمودینامیکی و  $T$  (K) دمای مطلق می‌باشد. مقادیر  $Kc$  از رابطه  $\ln Kc/Ce$  در برابر  $q_e$  به دست می‌آید [۱۹، ۲۰].

#### ۷-۲- آنالیز خطای

به منظور تعیین بهترین مدل های ایزوترمی و کیتیکی و مطابقت نتایج این مدل‌ها با نتایج به دست آمده از مطالعات آزمایشگاهی، علاوه بر به کارگیری  $R^2$  از روش جمع مربعات خطای (SSE%) (رابطه ۸) و همچنین  $X^2$  (رابطه ۹) استفاده شده است [۲۱، ۲۲].

$$x^2 = \sum \frac{(q_{e,exp} - q_{e,cal})^2}{q_{e,cal}} \quad (8)$$

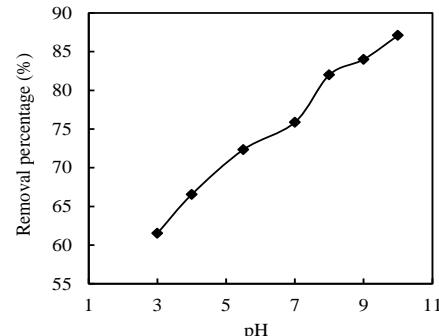
$$SSE\% = \sqrt{\frac{\sum (q_{e,exp} - q_{e,cal})^2}{N}} \quad (9)$$



شکل ۳- تاثیر غلظت اولیه رنگ متیلن بلو بر روی درصد حذف آن

#### ۴-۳- ایزوترم جذب رنگ به وسیله کربن فعال تولیدشده

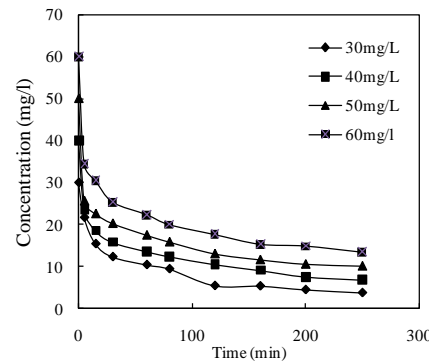
مطابق جدول ۳، میزان  $q_{max}$  به دست آمده از مدل لانگمیر  $680.3 \text{ mg/g}$  می باشد که این مقدار در مقایسه با سایر مطالعات از حد قابل قبولی برخوردار است. در مطالعه ای که Aygun و همکاران انجام دادند، میزان جذب رنگ متیلن بلو را بر روی کربن فعال تولیدشده از پوست فندق، پوست گردو و هسته زردآلو، در زمان تماس  $1440$  دقیقه، به ترتیب  $8/82$ ،  $8/53$  و  $4/11$  میلی گرم بر گرم گزارش کردند [۲۷]. همچنین karagoz و همکاران از کیک گل آفتاب گردان کربن فعال تولید نمودند و در زمان تماس  $1440$  دقیقه، میزان جذب رنگ متیلن بلو به وسیله آن را  $15/798 \text{ mg/g}$  گزارش کردند [۲۵]. در مطالعه ای دیگر Otero و همکاران میزان جذب متیلن بلو بر روی کربن فعال تولید شده از لجن فاضلاب را در زمان تماس  $40$  دقیقه  $114/94 \text{ mg/g}$  گزارش کردند [۱۸]. به علاوه مقادیر  $R_L$  به دست آمده برای تمامی غلظت ها بین  $0$  و  $1$  قرار گرفت (برای غلظت های اولیه  $30$ ،  $40$ ،  $50$  و  $60 \text{ mg/L}$  به ترتیب  $0/18$ ،  $0/14$ ،  $0/11$  و  $0/1$ ) که این امر نشان می دهد جاذب مورد استفاده برای حذف رنگ متیلن بلو مناسب است. همان گونه که در جدول ۳ مشاهده می شود، جذب رنگ متیلن بلو بر روی جاذب تولیدشده از روزنامه باطله با  $R^2 = 0.997$  تا حد بسیار بالایی از مدل فروندلیچ پیروی



شکل ۱- تاثیر تغییر pH بر روی میزان حذف رنگ متیلن بلو

#### ۳-۳- تاثیر زمان تماس و غلظت اولیه بر روی جذب رنگ متیلن بلو

مطابق شکل ۲، با گذشت زمان، در تمامی غلظت های مورد مطالعه، میزان جذب افزایش پیدا می کند. بیشترین سرعت حذف ماده جذب شونده در  $15$  دقیقه اول جذب صورت گرفت، که این امر به دلیل مقادیر بالای سایت های در دسترس در مراحل اولیه جذب است [۲۶].



شکل ۲- تاثیر زمان تماس بر روی درصد حذف رنگ متیلن بلو

همچنین مطابق شکل ۳ با افزایش غلظت اولیه رنگ از  $30 \text{ mg/l}$  به  $60 \text{ mg/l}$ ، میزان درصد حذف رنگ از  $87/1$  به  $77/5$  درصد کاهش یافت. با کاهش غلظت آلاینده در محیط، مولکول های ماده جذب شونده شانس بیشتری برای واکنش با سایت های جذب کننده موجود بر روی کربن فعال دارند و به این ترتیب میزان جذب در این شرایط افزایش می پابد، از این رو می توان گفت که یکی از روش های افزایش درصد حذف رنگ در فاضلاب های آلوده، رقیق نمودن آنها است [۱۶].

### ۵-۳- سیتیک واکنش جذب

برای به دست آوردن ضرایب کیتیکی واکنش جذب رنگ متیلن بلو بر روی کربن فعال تولیدشده از فرم خطی معادلات سیتیکی که در جدول ۱ ارائه شده است، استفاده شد، نتایج مربوطه در جدول ۴ ارائه شده است.

برای به دست آوردن ثابت  $K_2$  برای مدل شبیه درجه اول از شبیب خط نمودار  $\ln(qe-qt)$  در برابر  $t$  استفاده شد. در بیشتر موارد معادله شبیه درجه اول با داده‌های حاصل از مطالعات جذب سطحی سازگار نیست و مقدار  $R^2$  به دست آمده از معادله شبیه درجه اول (جدول ۴) نشان می‌دهد که جذب رنگ متیلن بلو بر روی کربن فعال از این مدل پیروی نمی‌کند. همچنین شبیب و عرض از مبدأ نمودار  $t/q_t$  در برابر  $t$  برای محاسبه ثابت  $K_2$  موجود در معادله شبیه درجه دوم استفاده شد. مطابق جدول ۴، مقدار  $R^2(0.996)$  مربوط به مدل شبیه درجه دوم نشان می‌دهد که جذب رنگ متیلن بلو روی کربن فعال از این مدل پیروی می‌کند که این امر مطابق با یافته‌های Karagoz و Hameed و همکاران و Altenor و همکاران می‌باشد [۴، ۲۱]. نمودار  $q_t$  در برابر  $t^{1/5}$  نیز برای استخراج ثوابت مربوط به مدل انتشار داخل ذره ای استفاده شد. مقدار  $R^2$  محاسبه شده ۰.۹۹۷۴ برای مدل سیتیکی انتشار داخل ذره نشان داد که سرعت فرایند جذب سطحی رنگ بر روی کربن فعال تولیدشده توسط مرحله انتشار ماده جذب‌شونده به درون ذرات جاذب کنترل نمی‌شود.

### ۶-۳- مطالعه ترمودینامیکی

نتایج حاصل از مطالعات ترمودینامیکی در جدول ۵ ارائه شده است، مقدار منفی  $\Delta G$  و مقدار مثبت  $\Delta H$  برای تمامی دماها نشان می‌دهد که جذب رنگ متیلن بلو بر روی کربن فعال فرآیندی گرمگیر و خود به خودی است [۲۷]. همچنین مقدار  $\Delta G$  می‌تواند نوع جذب سطحی را نشان دهد، این مقدار برای جذب فیزیکی بین  $0 \text{ kJ/mol}$  تا  $-20$  تغییر

می‌نماید که این امر نشان می‌دهد سطح جاذب هتروژن بوده و جذب رنگ متیلن بلو روی آن به صورت چند لایه است [۲، ۴، ۱۳، ۲۴].

جدول ۳- ضرایب به دست آمده از مدل‌های ایزوترمی

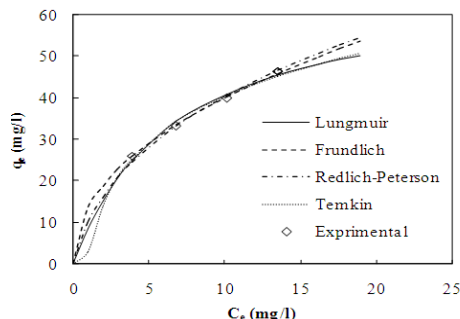
نام مدل	پارامتر	مقادیر	نام مدل	پارامتر	مقادیر
۱	$q_{\max}$	۶۸/۰۳	۲	$A$	۳/۵۹۱
	$b$	۰/۱۴۹		$B$	۱۶۰۰۳
	$R^2$	۰/۹۸۴		$R^2$	۰/۹۸۲
	SSE%	۱/۱۱۶		SSE%	۱/۰۲۶
	$x^2$	۰/۱۴۳		$x^2$	۰/۱۱۷
۳	$1/n$	۰/۴۵۸	۴	$\beta$	۰/۶۱۷
	$n$	۲/۱۸۲		$a_r$	۱/۰۷۸
	$K_f$	۱۳/۹۳		$K_r$	۲۲
	$R^2$	۰/۹۹۷۴		$R^2$	۰/۹۹۵۲
	SSE%	۰/۴۱۴		SSE%	۰/۹۰۸
	$x^2$	۰/۰۱۷		$x^2$	۰/۱۲۷

مقدار  $R^2$  به دست آمده برای مدل ردیچ-پترسون به خوبی نشان می‌دهد که این مدل احتمالاً با خطای بسیار کمی رفتار جذب جاذب تولیدشده را پیش‌بینی کند، همچنین مقدار پایین ضریب  $\beta$  به دست آمده در این مدل نشان می‌دهد که جذب رنگ یاد شده به احتمال فراوان از مدل فرونردیچ پیروی کرده و در نتیجه سطح جاذب تولیدشده هتروژن است [۱۳]. آخرین مدل ایزوترمی به کار رفته در این مطالعه مدل تمکین است که فرض آن بر پایه جذب شیمیایی استوار است [۱۳]، مقدار  $R^2$  به دست آمده برای این مدل نشان می‌دهد جذب رنگ روی کربن تولیدشده احتمالاً تا حدودی دارای سازوکار شیمیایی است.

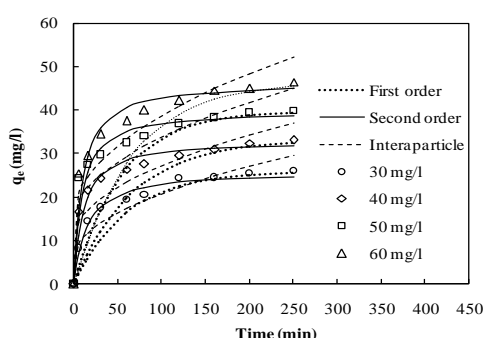
جدول ۴- ضرایب مدل‌های شبه درجه اول، شبه درجه دوم و انتشار خارج ذره‌ای

غاظت (mg/l)	معادله شبه درجه اول			معادله شبه درجه دوم			معادله انتشار داخل ذره‌ای		
	K <sub>1</sub> (1/min)	q <sub>e</sub> (mg/g)	R <sup>2</sup>	K <sub>2</sub> (g/mg. min)	q <sub>e</sub> (mg/g)	R <sup>2</sup>	K <sub>p</sub> (mg/g. min)	C (mg/g)	R <sup>2</sup>
۳۰	۰/۰۱۶	۱۸/۰۸	۰/۹۵۹	۰/۰۰۳	۲۶/۳۲	۰/۹۹۱	۱/۲	۹/۱۸۲	۰/۹۰۳
۴۰	۰/۰۱۶	۱۹/۱۶	۰/۹۳۶	۰/۰۰۴	۳۲/۵۴	۰/۹۹۵	۱/۱۳۱	۱۷/۶۲	۰/۹۴۶
۵۰	۰/۰۱۸	۲۲/۲۷	۰/۹۵	۰/۰۰۴	۳۹/۸۳	۰/۹۹۵	۱/۱۶۹	۲۳/۰۲	۰/۹۷۳
۶۰	۰/۰۱۵	۲۴/۹۲	۰/۹۴۲	۰/۰۰۳	۴۵/۹	۰/۹۹۶	۱/۵۱۷	۲۴/۶	۰/۹۴۹

X2 به دست آمده برای مدل‌های مورد استفاده (جداول ۳ و ۴)، و همچنین با توجه به شکل ۴ و ۵ می‌توان نتیجه گرفت که مدل ایزوترمی فروندلیچ در میان مدل‌های ایزوترمی و مدل شبه درجه دوم در میان مدل‌های سیستیکی دارای بهترین برازش است.



شکل ۴- برازش مدل‌های لانگمیر، فروندلیچ، ردلیچ- پترسون



شکل ۵- برازش مدل‌های شبه درجه اول، شبه درجه دوم و انتشار داخل ذره‌ای

می‌کند در حالی که برای فرایند جذب شیمیایی این مقدار بین ۸۰- تا ۴۰۰- تغییر خواهد نمود [۱۴].

جدول ۵- پارامترهای ترمودینامیک جذب متیلن بلو به وسیله کربن فعال

T(K)	ΔG (kJ/mol)	ΔH (kJ/mol)	ΔS (J/mol. K)	R <sup>2</sup>
۲۹۱	-۱۹/۶۷۴	۱۴/۳۴۹	۱۱۶/۹۲۸	۰/۹۹۴
۲۹۸	-۲۰/۰۱۲			
۳۰۳	-۲۱/۰۴۱			
۳۰۸	-۲۱/۶۸۴			

در مطالعه حاضر مقادیر ΔG بین -۱۹/۶۷- تا -۲۱/۶۸- تغییر نمود که این امر نشان‌دهنده جذب فیزیکی رنگ روی کربن فعال است. همچنین مقدار مثبت ΔS نشان داد که در طول فرایند جذب سطحی نامنظمی در سطح جاذب- محلول افزایش یافت [۲۹, ۲۸, ۱۲].

### ۷-۳- آنالیز خطای

در شکل ۴ برازش مدل‌های ایزوترمی لانگمیر، فروندلیچ، ردلیچ- پترسون و تمکین و در شکل ۵ برازش مدل‌های سیستیکی شبه درجه اول، شبه درجه دوم و انتشار داخل ذره‌ای نسبت به داده‌های به دست آمده از مطالعه آزمایشگاهی نشان داده شده است. با توجه به R<sub>2</sub>% و SSE%

methylene blue and phenol onto vetiver roots activated carbon prepared by chemical activation, Journal of Hazardous Materials, 165(1-3):1029–1039

[5] Haimour, NM., Emeish, S.,2006: Utilization of date stones for production of activated carbon using phosphoric acid, Waste Management, 26:651–660.

[6] Hasar, H.,2003, Adsorption of nickel (II) from aqueous solution onto activated carbon prepared from almond husk, Journal of Hazardous Materials, 97:49–57.

[7] Rahman, IA, Saad B, Shaidan S, Sya Rizal ES.,2005, Adsorption characteristics of malachite green on activated carbon derived from rice husks produced by chemical-thermal process, Bioresource Technology,96(14):1578-1583.

[8] Amri, N., Zakaria, R., Zailani, Abu Bakar M.,2009, Adsorption of Phenol Using Activated Carbon Adsorbent from Waste Tyres, Pertanika J Sci & Technol, 17(2):371 – 380.

[9] Nabizadeh, R., Heidari, M., Hasanvand, MS.,2008, Municipal solid waste analysis in Iran, Iran J Health & Environ, 1:9-18.

[10] Filho, GR., Monteiro, DS., Meireles, CS., Assuncao, RMN., Cerqueira DA.,2008, Synthesis and characterization of cellulose acetate produced from recycled newspaper, Carbohydrate Polymers, 73:74-82.

[11] Troca-Torrado, C., Alexandre-Franco, M., Fernández-González, C., Alfaro-Domínguez, M., Gómez-Serrano, V.,2011, Development of adsorbents from used tire rubber,Their use in the adsorption of organic and inorganic solutes in aqueous solution. Fuel Processing Technology, 92(2):206-212.

[12] Tanthapanichakoon, W., Ariyadejwanich, P., Japthong, P., Nakagawa, K., Mukai, S., Tamon, H.,2005, Adsorption-desorption characteristics of phenol and reactive dyes from aqueous solution on mesoporous activated carbon prepared from waste tires. Water Research,39(7):1347-1353.

[13] Alagumuthu, G., Veeraputhiran, V., Venkataraman, R.,2010, Adsorption Isotherms on Fluoride Removal: Batch Techniques, Archives of Applied Science

[14] Rodrigues, LA., da Silva MLCP, Alvarez-Mendes MO., Coutinho, AdR., Thim GP.,2011, Phenol removal from aqueous solution by activated carbon produced from avocado kernel seeds, Chemical Engineering Journal, 174(1):49-57.

[15] Perez, N., Sanchez, M., Rincon, G.,2007, Study of the behavior of metat adsorption in asid solutions on lignin using a comparison of different adsorption isotherms, Latin American Applied Research, (37):157-162.

#### ۴- نتیجه‌گیری

در میان جاذب‌های مختلف، کربن فعال یکی از پرمصرف‌ترین جاذب‌ها در صنایع مختلف است که به دلیل گران‌قیمت بودن پیش مواد تولیدی آن هزینه نوع تجاری آن بالا بوده و این امر مانع برای استفاده از این ماده است. از طرفی روزنامه‌های باطله یکی از اجزا اصلی مواد دورریز را تشکیل می‌دهند و به دلیل ماهیت طبیعی این مواد که دارای درصد بالای هیدروکربن است، گزینه مناسبی برای پیش ماده تولید کربن فعال به حساب می‌آیند. از این رو در مطالعه حاضر با روش شیمیایی از این ماده ارزان‌قیمت و دورریز، کربن فعال تولید شود و توانایی آن در حذف متیلن بلو از فاضلاب مصنوعی مورد بررسی قرار گرفت. نتایج این مطالعه نشان داد که کربن فعال تولیدی از طرفیت بالایی برای جذب رنگ متیلن بلو از محیط آبی برخوردار است.

#### ۵- تشکر و قدردانی

نویسنده‌گان این مقاله از مرکز علوم و فنون هسته‌ای (آزمایشگاه رازی) و آزمایشگاه شیمی محیط دانشکده بهداشت دانشگاه علوم پزشکی شیراز به دلیل مساعدت‌های بی‌دریغشان صمیمانه تشکر و قدردانی می‌نمایند.

#### ۶- منابع

[1] Robinson, T., McMullan, G., Marchant, R., Nigam, P.,2001, Remediation of dyes in textiles effluent, a critical review on current treatment technologies with a proposed alternative, Biresour Technol (77):247–255.

[2] El Qada, EN., Allen, SJ., Walker, GM.,2006, Adsorption of Methylene Blue onto activated carbon produced from steam activated bituminous coal, A study of equilibrium adsorption isotherm, Chemical Engineering Journal, 124(1-3):103-110.

[3] Yang J, Qiu K.,2010, Preparation of activated carbons from walnut shells via vacuum chemical activation and their application for methylene blue removal. Chemical Engineering Journal,65(1):209-217.

[4] Altenor, S., Carene, B., Emmanuel, E., Lambert, J., Ehrhardt, J-J., Gaspard, S.,2009, Adsorption studies of

- solution by chaff in batch mode, *Journal of Hazardous Materials*, 137(1):550-557.
- [23] Bandosz, T., 2006, *Activated Carbon Surfaces in Environmental Remediation*, 1 edn. New York, USA: Elsevier Ltd
- [24] Chen, H., Zhao, J., Wu, J., Dai, G., 2011, Isotherm, thermodynamic, kinetics and adsorption mechanism studies of methyl orange by surfactant modified silkworm exuviae, *Journal of Hazardous Materials*, 192(1):246-254.
- [25] Karagoz, S., Tay, T., Ucar, S., Erdem, M., 2008, Activated carbons from waste biomass by sulfuric acid activation and their use on methylene blue adsorption, *Bioresource Technology*, 99(14):6214-6222.
- [26] Babaei, Zarch HR., Ganjidoust, H., Ayati, B., 2013, Lead Removal from Wastewater by Adsorption using Ash and Sawdust, *Modares Civil Engineering Journal*, 13.
- [27] Mittal, A., Mittal, J., Malviya, A., Gupta, VK., 2009, Adsorptive removal of hazardous anionic dye "Congo red" from wastewater using waste materials and recovery by desorption. *Journal of Colloid and Interface Science*, 340(1):16-26.
- [28] Kumar, S., Gunasekar, V., Ponnusami, V., 2012, Removal of Methylene Blue from Aqueous Effluent Using Fixed Bed of Groundnut Shell Powder, *Journal of Chemistry*, 50(10):2775-2785.
- [29] Theydan SK, Ahmed MJ., 2012, Adsorption of methylene blue onto biomass-based activated carbon by FeCl<sub>3</sub> activation: Equilibrium, kinetics, and thermodynamic studies, *Journal of Analytical and Applied Pyrolysis*, 97:116-122.
- [16] Kalyani, G., Babu Rao, G., Vijaya, Saradhi B., 2009, Equilibrium and kinetic studies on biosorption of zinc onto gallus domesticus shell powder, *ARPN Journal of Engineering and Applied Sciences*, 4(1):39-49.
- [17] Aygün, A., Yenisoy-KarakAŞ, S., Duman, I., 2003, Production of granular activated carbon from fruit stones and nutshells and evaluation of their physical, chemical and adsorption properties, *Microporous and Mesoporous Materials*, 66(2-3):189-195.
- [18] Otero, M., Rozada, F., Calvo, LF., Garcia, AI., Moran, A., 2003, Kinetic and equilibrium modelling of the methylene blue removal from solution by adsorbent materials produced from sewage sludges, *Biochem Eng J*, 15:59-68.
- [19] Renugadevi, N., Sangeetha, R., Lalitha, P., 2011, Kinetics of the adsorption of methylene blue from an industrial dyeing effluent onto activated carbon prepared from the fruits of *Mimusops Elengi*. *Archives of Applied Science Research*, 3(3):492-498.
- [20] Abechi, ES., Gimba, CE., Uzairu, A., Kagbu, JA., 2011, Kinetics of adsorption of methylene blue onto activated carbon prepared from palm kernel shell, *Archives of Applied Science Research*, 3(1):154-164.
- [21] Hameed, B., Din, A., Ahmad, A., 2007, Adsorption of methylene blue onto bamboo-based activated carbon, *Kinetics and equilibrium studies*, *Journal of Hazardous Materials*, 141(3):819-825.
- [22] Han, R., Wang, Y., Han, P., Shi, J., Yang, J., Lu, Y., 2006, Removal of methylene blue from aqueous

